

## บทที่ 4

### ผลการศึกษา

จากการศึกษาความหลากหลายของไอลเคน และการตรวจวัดปริมาณก้าชชัลเฟอร์-ไคออกไซด์ ในพื้นที่หมู่บ้านบริเวณรอบโรงไฟฟ้าแม่เมะ อำเภอแม่เมะ จังหวัดลำปาง ทั้งหมด 10 พื้นที่ ตั้งแต่เดือนกุมภาพันธ์ - กรกฎาคม พ.ศ. 2552 ได้ผลการศึกษาดังนี้

#### 4.1 การศึกษาความหลากหลายของไอลเคน

##### 4.1.1 การศึกษานิดและความถี่ของจำนวนไอลเคน

จากการสำรวจนิดของไอลเคนในพื้นที่ศึกษาทั้งหมด 10 พื้นที่ ของหมู่บ้านในบริเวณรอบโรงไฟฟ้าแม่เมะ ตั้งแต่เดือนกุมภาพันธ์ - เมษายน พ.ศ. 2552 ซึ่งได้สำรวจจากต้นมะม่วงจำนวน 100 ต้น พบไอลเคนทั้งหมด 13 วงศ์ (family) 24 สกุล (genus) 43 ชนิด (species) ประกอบด้วย ไอลเคนกลุ่มโพลิโอดจำนวน 5 สกุล 11 ชนิด และเป็นไอลเคนกลุ่มครัสโตรจำนวน 19 สกุล 32 ชนิด โดยไอลเคนส่วนใหญ่ที่พบอยู่ในสกุล *Dirinaria*, *Pyxine*, *Chrysothrix*, *Cryptothecia*, *Arthonia*, *Lecanographa*, *Laurera* และ *Hyperphyscia* ส่วนน้อยที่พบเป็นไอลเคนที่อยู่ในสกุล *Buellia*, *Ocellularia* และ *Chapsa* มีไอลเคนที่ไม่สามารถจัดจำแนกสกุลได้ 1 ตัวอย่าง ดังตาราง 4.1 นอกจากนี้ไอลเคน *Dirinaria picta* และ *Pyxine cocoes* เป็นไอลเคนที่พบในความถี่สูงและพบในทุกพื้นที่ศึกษา ไอลเคนที่พบบ่อยและมีความถี่สูง ได้แก่ ไอลเคนชนิด *Chrysothrix xanthina*, *Arthonia tumidula*, และ *Laurera subbenguelensis* ซึ่งพบได้ในพื้นที่ศึกษา 9 แห่ง จากพื้นที่ศึกษาทั้งหมด 10 แห่ง (ตาราง 4.2) ไอลเคนที่พบน้อยที่สุด ซึ่งพบในพื้นที่ศึกษาเพียงแห่งเดียวและมีความถี่ต่ำ ได้แก่ ไอลเคนชนิด *Arthonia* sp.2 พบที่บ้านแม่ทะ *Chapsa* sp. พบที่บ้านสนป่าด *Rinodina* sp.2 พบที่บ้านแม่จาง *Physcia cf. erumpens* และ *Ocellularia* sp. พบที่บ้านป่างปวย *Arthonia* sp.3, *Lecanora* sp.4 และ *Porina* sp.2 พบที่บ้านกอรวก และ cf. *Anisomeridium* sp.2 พบที่บ้านท่าสี

ตาราง 4.1 รายชื่อวงศ์ สกุลและชนิดของไอลเคนที่พบจากการสำรวจในพื้นที่ศึกษา  
(จัดจำแนกตาม Purvis *et al.*, 1992)

Thallus Type	Family	Genus	Species
Foliose	Parmeliaceae	<i>Parmotrema</i>	<i>P. praesorediosum</i>
			<i>P. tinctorum</i>
	Physciaceae	<i>Dirinaria</i>	<i>D. picta</i>
		<i>Hyperphyscia</i>	<i>H. adglutinata</i>
			<i>H. pandani</i>
			<i>H. cf. tuckermanii</i>
	Physciaceae	<i>Physcia</i>	<i>P. cf. dilatata</i>
			<i>P. cf. erumpens</i>
			<i>P. poncinsii</i>
			<i>P. undulata</i>
	Physciaceae	<i>Pyxine</i>	<i>P. cocoes</i>
Crustose	Arthoniaceae	<i>Arthonia</i>	<i>A. tumidula</i>
			<i>Arthonia sp.2</i>
			<i>Arthonia sp.3</i>
	Arthoniaceae	<i>Arthothelium</i>	<i>Arthothelium sp.1</i>
			<i>Arthothelium sp.2</i>
	Arthoniaceae	<i>Cryptothecia</i>	<i>Cryptothecia sp.</i>
	Chrysotrichaceae	<i>Chrysotrichix</i>	<i>C. xanthina</i>
	Gyalectaceae	<i>Dimerella</i>	<i>Dimerella sp.</i>
	Lecanoraceae	<i>Lecanora</i>	<i>L. ecoronata</i>
			<i>L. leprosa</i>
			<i>Lecanora sp.3</i>
			<i>Lecanora sp.4</i>
	Monoblastiaceae	cf. <i>Anisomeridium</i>	cf. <i>Anisomeridium</i> sp.1
			cf. <i>Anisomeridium</i> sp.2
	Physciaceae	<i>Buellia</i>	<i>Buellia</i> sp.

ตาราง 4.1 (ต่อ) รายชื่อวงศ์ สกุลและชนิดของไอลเคนที่พบรากการสำรวจนิพัทธ์ในพื้นที่ศึกษา  
(ข้อมูลแก้ตาม Purvis et al., 1992)

Thallus Type	Family	Genus	Species
Crustose	Physciaceae	<i>Rinodina</i>	<i>Rinodina</i> sp.1 <i>Rinodina</i> sp.2
	Pyrenulaceae	<i>Pyrenula</i>	<i>Pyrenula</i> sp.
	Bacidiaceae	<i>Bacidia</i>	<i>Bacidia</i> sp.1 <i>Bacidia</i> sp.2 <i>Bacidia</i> sp.3
	Roccellaceae	<i>Lecanographa</i>	<i>Lecanographa</i> sp.
	Thelotremaeae	<i>Chapsa</i>	<i>Chapsa</i> sp.
	Thelotremaeae	<i>Ocellularia</i>	<i>Ocellularia</i> sp.
	Thelotremaeae	<i>Leucodecton</i>	<i>L. occultum</i>
	Trichotheliaceae	<i>Porina</i>	<i>P. aciculosa</i> <i>Porina</i> sp.2
	Trypetheliaceae	<i>Laurera</i>	<i>L. subbenguelensis</i> <i>Laurera</i> sp.2
	Trypetheliaceae	<i>Trypethelium</i>	<i>T. aff. tropicum</i> <i>T. eluteriae</i>
ไม่ทราบ	ไม่ทราบ		Unknown1

ตาราง 4.2 ความถี่รวมของจำนวนไอลเคนแต่ละชนิด ในพื้นที่ศึกษา

ไอลเคน	ความถี่ไอลเคนในพื้นที่ศึกษา										ความถี่รวม
	เมือง	ป่าดง	ป่าเบญจรงค์	ป่าป่าไม้	ป่าดงร่อง	ป่าป่าไม้ร่อง	ป่าดง	ป่าดงร่อง	ท่อสี	ท่อเขียว	
<i>Dirinaria picta</i>	45	43	27	18	47	82	77	66	26	58	489
<i>Pyxine cocoes</i>	35	19	12	24	4	1	47	4	55	2	203
<i>Crysothrix xanthina</i>	8	46	25	18		10	21	20	41	10	199
<i>Cryptothecia</i> sp.	63			20	6		7	27	16		139
<i>Arthonia tumidula</i>	12	20	9	26	12	3		9	2	11	104
<i>Lecanographa</i> sp.	12						24	7	16	16	75
<i>Laurera subbenguelensis</i>	6	3	3		6	4	1	22	1	1	47
<i>Hyperphyscia adglutinata</i>	19	6	1	12	1				5		44
<i>Leconora ecoranata</i>	5	16		1		16				1	39
<i>Trypethelium aff. tropicum</i>	2	7	3		3	7	2	6		9	39
<i>Lecanora leprosa</i>	6	6	1	3	1	17		3			37
<i>Parmotrema praesorediosum</i>	3	1				3		2	2	11	22
<i>Trypethelium eluteriae</i>			1		1	4	5	6	1	3	21
<i>Parmotrema tinctorum</i>			3	1	1	4	1	4	1	4	19
<i>Bacidia</i> sp.1	5			11	1				2		19
<i>Physcia poncinsii</i>	6	2		3	5	1				1	18
<i>Bacidia</i> sp.2			2		2	1		9		1	15
<i>Laurera</i> sp.2							4		10	10	14
<i>Arthothelium</i> sp.2				1					9		10
<i>Physcia undulata</i>										9	10
Unknown					7			3			10
<i>Rinodina</i> sp.1			5		1			3			9
<i>Porina aciculosa</i>							6	3			9
cf. <i>Anisomeridium</i> sp.1					1		1		4	6	
<i>Arthothelium</i> sp.1			4	2						6	



ตาราง 4.2 (ต่อ) ความถี่รวมของจำนวนไลเคนแต่ละชนิด ในพื้นที่ศึกษา

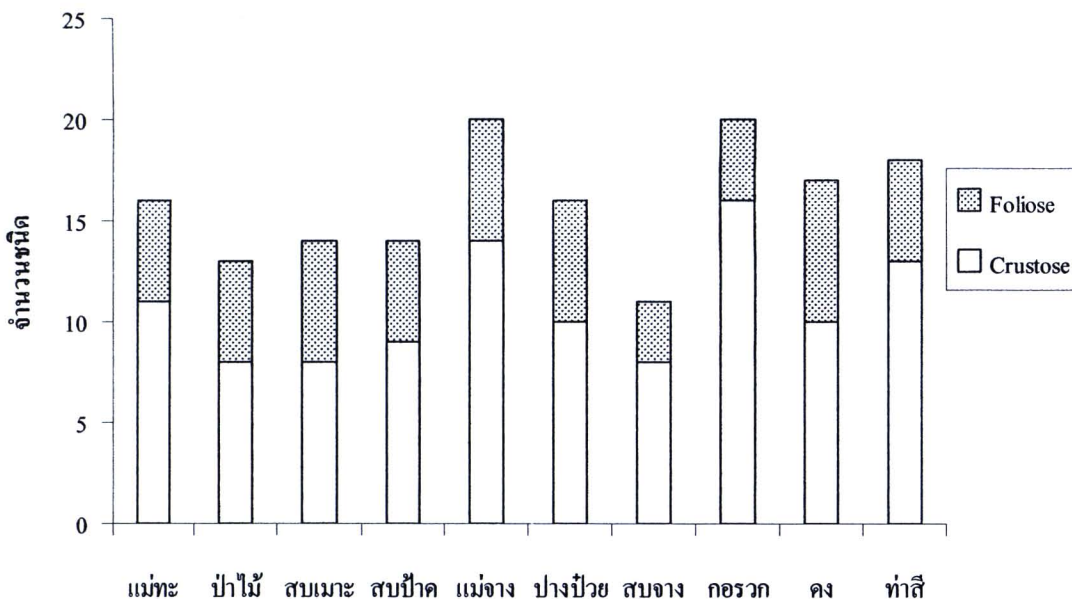
ไลเคน	ความถี่ไลเคนในพื้นที่ศึกษา									ผลรวม
	เมือง	ป่าไม้	สวนเมือง	สวนป่าตัด	แม่น้ำ	ป่าป่าชาย	ดงจาง	ภูเขา	ท่าเรือ	
<i>Lecodection occultum</i>					3				3	6
<i>Physcia cf. dilatata</i>								5		5
<i>Dimerella</i> sp.				5						5
<i>Lecanora</i> sp.3	5									5
<i>Hyperphyscia pandani</i>					4					4
<i>Hyperphyscia</i> cf. <i>tuckermanii</i>	4									4
<i>Bacidia</i> sp.3		4								4
<i>Pyrenula</i> sp.			1					1	2	4
<i>Buellia</i> sp.	1							1		2
<i>Ocellularia</i> sp.				2						2
<i>Physcia</i> cf. <i>erumpens</i>					1					1
cf. <i>Anisomeridium</i> sp.2								1	1	
<i>Arthonia</i> sp.2	1									1
<i>Arthonia</i> sp.3							1			1
<i>Lecanora</i> sp.4						1				1
<i>Rinodina</i> sp.2			1							1
<i>Chapsa</i> sp.		1								1
<i>Porina</i> sp.2							1			1

เมื่อเปรียบเทียบจำนวนชนิดของไอลเคนกลุ่มครัสโตรส กับจำนวนชนิดของไอลเคนกลุ่ม โฟลิโอส ที่พบในแต่ละพื้นที่ศึกษา พบว่าทุกพื้นที่ศึกษามีจำนวนชนิดของครัสโตรสมากกว่าจำนวนชนิดของโฟลิโอส ซึ่งในพื้นที่ศึกษาที่ 5 และ 8 คือบ้านแม่จางและบ้านกอรวกพบจำนวนชนิดของไอลเคนมากที่สุดคือ 20 ชนิด รองลงมาคือพื้นที่ศึกษาที่ 10 บ้านท่าสี พบไอลเคนจำนวน 18 ชนิด ในขณะที่พื้นที่ศึกษาที่ 7 บ้านสนจางพบจำนวนชนิดของไอลเคนน้อยที่สุดเพียง 11 ชนิด ดังตาราง

#### 4.3 และภาพ 4.1

ตาราง 4.3 จำนวนชนิดของไอลเคนกลุ่มครัสโตรสและไอลเคนกลุ่ม โฟลิโอสในแต่ละพื้นที่ศึกษา

ลำดับ	พื้นที่ศึกษา	จำนวนชนิดของไอลเคน		
		Crustose	Foliose	รวม
1	บ้านแม่ทะ	11	5	16
2	บ้านป่าไม้	8	5	13
3	บ้านสนมะ	8	6	14
4	บ้านสนป่าด	9	5	14
5	บ้านแม่จาง	14	6	20
6	บ้านปางป่าย	10	6	16
7	บ้านสนจาง	8	3	11
8	บ้านกอรวก	16	4	20
9	บ้านคง	10	7	17
10	บ้านท่าสี	13	5	18
รวม		32	11	43

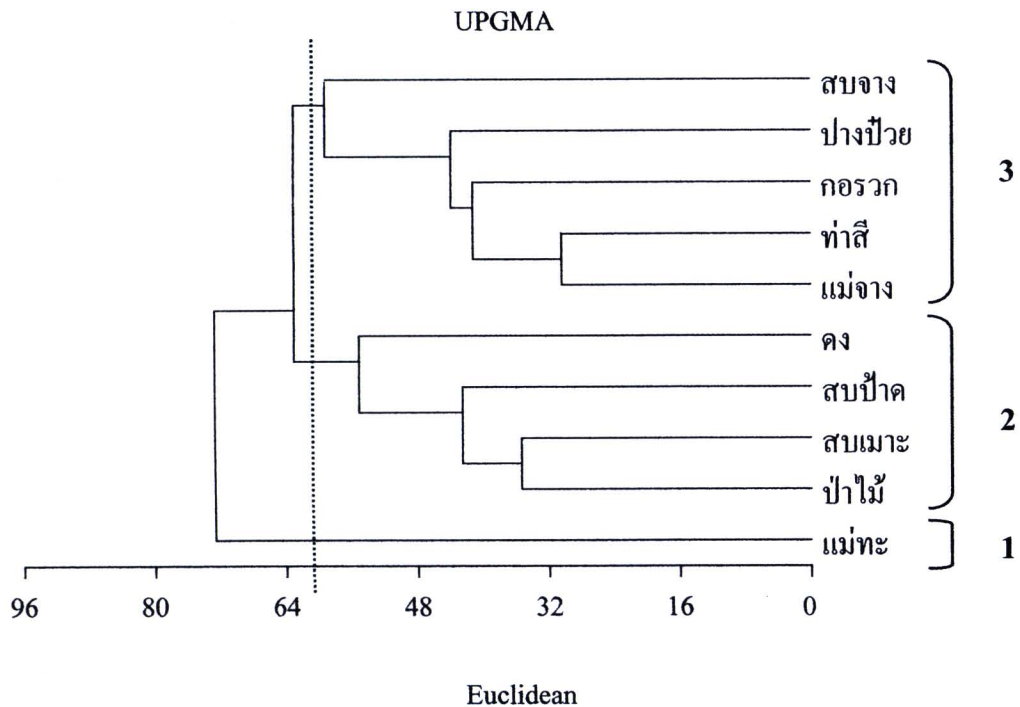


ภาพ 4.1 จำนวนชนิดของไอลิเคนกลุ่มครัสต็อสและไอลิเคนกลุ่มโพลิโอส ในแต่ละพื้นที่ศึกษา

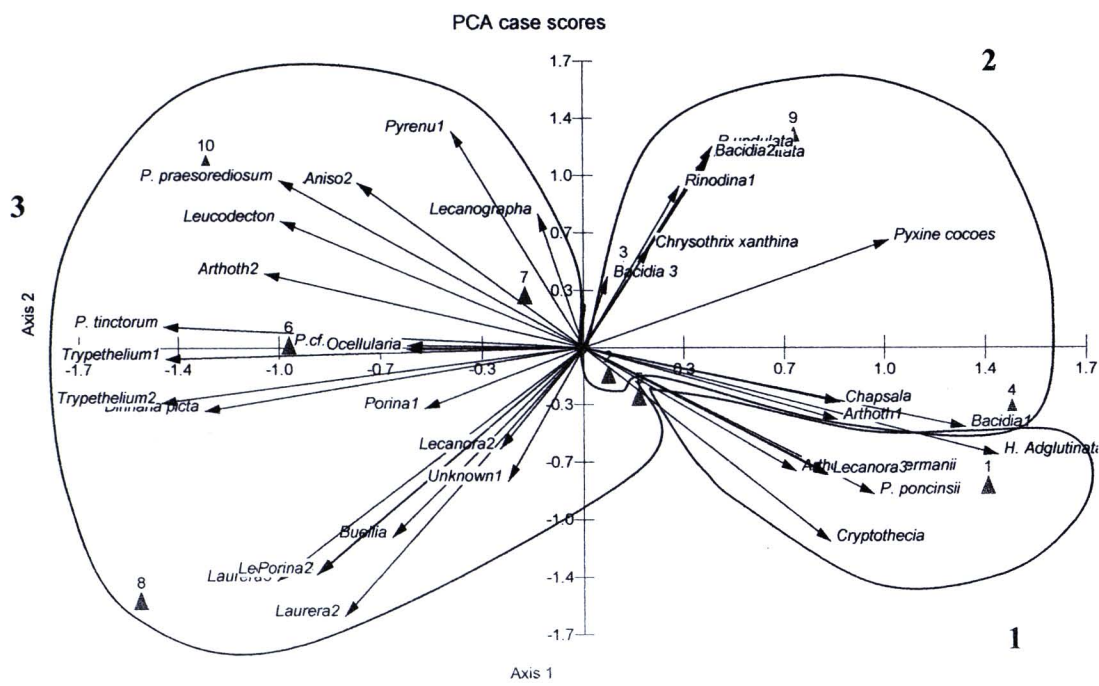
จากการจัดกลุ่มพื้นที่ศึกษา (Cluster Analysis) โดยใช้ข้อมูลชนิดและความถี่ของไอลิเคนในแต่ละพื้นที่ ด้วยวิธี UPGMA Euclidean ด้วยโปรแกรม MVSP version 3.1 พบว่า สามารถจัดกลุ่มพื้นที่ศึกษาได้เป็น 3 กลุ่ม ดังภาพ 4.2 และ ภาพ 4.3 ได้แก่ กลุ่ม 1 ประกอบด้วยพื้นที่ศึกษาที่ 1 บ้านแม่ทะ พนไอลิเคนชนิด *Cryptothecia* sp., *Dirinaria picta* และ *Pyxine cocoae* มีความถี่สูงสุด นอกจากนี้ยังพบ *Hyperphyscia adglutinata*, *Lecanographa* sp. และ *Physcia poncinsii* และเป็นพื้นที่เดียวที่พบ *Hyperphyscia cf. tuckermanii*, *Arthonia* sp.2 และ *Lecanora* sp.3

กลุ่ม 2 ประกอบด้วยพื้นที่ศึกษาที่ 2, 3, 4 และ 9 ได้แก่หมู่บ้านป่าไม้ บ้านสนเมะ บ้านสนป้าค และบ้านคง พนไอลิเคนชนิด *Chrysotricha xanthina*, *Dirinaria picta*, *Pyxine cocoae* และ *Arthonia tumidula* มีความถี่สูงสุด ในกลุ่ม 2 พนไอลิเคน 6 ชนิด ที่ไม่พบในกลุ่ม 1 และ 3 ได้แก่ *Physcia cf. dilatata*, *Physcia undulata*, *Bacidia* sp.2, *Bacidia* sp.3, *Dimerella* sp. และ *Chapsa* sp.

กลุ่ม 3 ประกอบด้วยพื้นที่ศึกษา 5, 6, 7, 8 และ 10 ได้แก่หมู่บ้านแม่งจาง บ้านปางปวย บ้านสนจาง บ้านกอรวก และบ้านท่าสี พนไอลิเคนชนิด *Dirinaria picta* มีความถี่สูงกว่ากลุ่ม 1 และ กลุ่ม 2 อย่างชัดเจน และพนไอลิเคน *Parmotrema praesorediosum*, *Parmotrema tinctorum*, *Laurera subbenguelensis*, *Laurera* sp.2, *Lecanographa* sp., *Lecanora leprosa* และ *Trypethelium eluteriae* มีความถี่สูงกว่ากลุ่ม 2 นอกจากนี้ยังพบไอลิเคน 13 ชนิด ที่พนเพียงในกลุ่ม 3 เช่น cf. *Anisomeridium* sp.1, cf. *Anisomeridium* sp.2, *Arthothelium* sp.2, *Porina aciculosa*, *Leucodection occultum*, *Ocellularia* sp. และ Unknown เป็นต้น (ตาราง 4.2)



ภาพ 4.2 การจัดกลุ่มพื้นที่ศึกษา (Cluster Analysis)



ภาพ 4.3 ชนิดไอลเคนที่พบในกลุ่มพื้นที่ศึกษาที่ได้จากการจัดกลุ่ม (Cluster Analysis)

#### 4.1.2 การศึกษาความหลากหลายของໄລເຄນ

จากข้อมูลชนิดและความถี่ของໄລເຄນที่ພົບໃນແຕ່ລະພື້ນທີ່ສຶກຍາທັງໝາດ 10 ພື້ນທີ່ເມື່ອນຳນາ  
ຄໍານວນຫາຄໍາດັ່ງນີ້ຄວາມຫລາກຫລາຍຂອງແຜນນອນວິເນອຣ໌ (Shannon – Wiener's Diversity Index: H')  
ຄໍາຄວາມສໍາໜັກ (Evenness: E) ແລະຄໍາຄວາມຫລາກຫນິດ (species richness) ພົບວ່າພື້ນທີ່ສຶກຍາທີ່ 8  
ບ້ານກອຮວກມີຄໍາດັ່ງນີ້ຄວາມຫລາກຫລາຍຂອງໄລເຄນສູງທີ່ສຸດ ຄື່ອ 2.30 ແລະມີຄວາມຫລາກຫນິດຂອງ  
ໄລເຄນ (species richness) ສູງສຸດ ຄື່ອ 20 ຈົນີດ ຮອງລົງມາຄື່ອ ບ້ານສົບປ້າດ ບ້ານແມ່ງທະ ບ້ານຄົງ  
ບ້ານທ່າສີ ບ້ານແມ່ງຈາງ ບ້ານປ້າໄນ້ ບ້ານສົບເມາະ ແລະບ້ານປັງປົວຍ ຕາມລຳດັບ ສ່ວນພື້ນທີ່ສຶກຍາທີ່ 7  
ບ້ານສົບຈາງມີຄໍາດັ່ງນີ້ຄວາມຫລາກຫລາຍຂອງໄລເຄນຕໍ່ທີ່ສຸດ ຄື່ອ 1.67 ແລະມີຄວາມຫລາກຫນິດຂອງໄລເຄນ  
ນ້ອຍທີ່ສຸດເພີ້ງ 11 ຈົນີດ ສໍາຫຼັບຄໍາຄວາມສໍາໜັກຂອງໄລເຄນໃນແຕ່ລະພື້ນທີ່ມີຄ່າອູ້ໃນຫ່ວງ  
0.65 – 0.86 ໂດຍພື້ນທີ່ສຶກຍາທີ່ 4 ບ້ານສົບປ້າດ ມີຄໍາຄວາມສໍາໜັກຂອງໄລເຄນສູງທີ່ສຸດ (ຕາຮາງ 4.4)

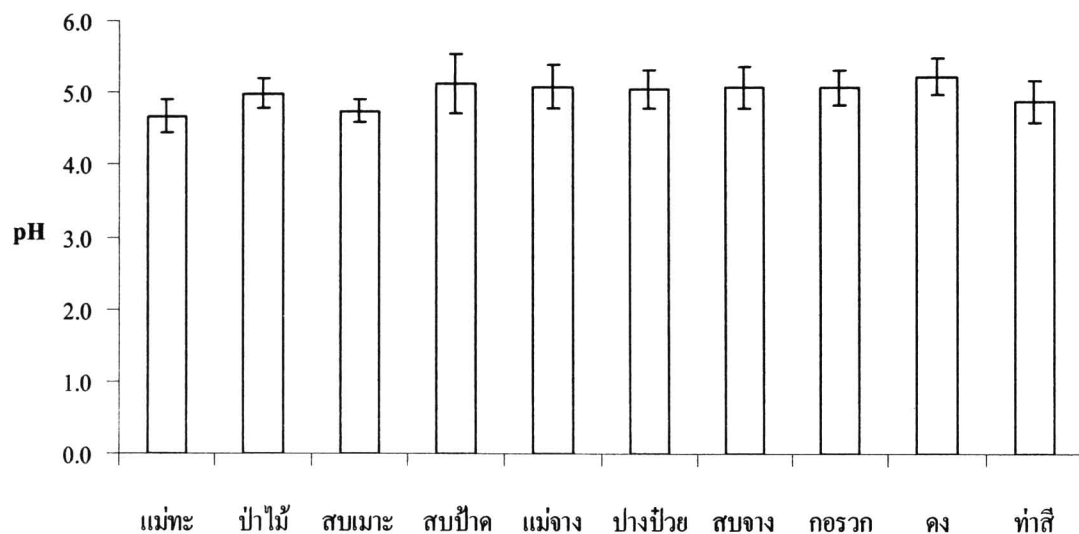
ຕາຮາງ 4.4 ດັ່ງນີ້ຄວາມຫລາກຫລາຍ (diversity index) ຄໍາຄວາມສໍາໜັກ (evenness) ແລະ  
ຄວາມຫລາກຫນິດ (species richness) ຂອງໄລເຄນໃນພື້ນທີ່ສຶກຍາ

ພື້ນທີ່ສຶກຍາ	Diversity Index	Evenness	Species richness
ບ້ານແມ່ງທະ	2.24	0.81	16
ບ້ານປ້າໄນ້	2.04	0.80	13
ບ້ານສົບເມາະ	2.04	0.77	14
ບ້ານສົບປ້າດ	2.26	<b>0.86</b>	14
ບ້ານແມ່ງຈາງ	2.14	0.71	<b>20</b>
ບ້ານປັງປົວຍ	1.81	0.65	16
ບ້ານສົບຈາງ	1.67	0.70	11
ບ້ານກອຮວກ	<b>2.30</b>	0.77	<b>20</b>
ບ້ານຄົງ	2.17	0.77	17
ບ້ານທ່າສີ	2.17	0.75	18

#### 4.2 การศึกษา pH เปลี่ยนไปของต้นมะม่วงในพื้นที่ศึกษา

จากการวัดค่า pH เปลี่ยนไปของต้นมะม่วงที่ทำการศึกษาทั้งหมดจำนวน 100 ต้น ใน 10 พื้นที่ศึกษา พบว่าค่า pH เปลี่ยนไปของต้นมะม่วงมีค่าเฉลี่ยอยู่ระหว่าง 4.67 – 5.23 ซึ่งค่า pH เปลี่ยนไปของทุกพื้นที่ศึกษามีค่าค่อนข้างเป็นกรด โดยพื้นที่ศึกษาที่เปลี่ยนไปมีค่า pH เฉลี่ยน้อยที่สุดคือพื้นที่ศึกษาที่ 1 บ้านแม่ทะ (4.67) ส่วนพื้นที่ศึกษาที่เปลี่ยนไปมีค่า pH เฉลี่ยมากที่สุดคือพื้นที่ศึกษาที่ 9 บ้านคง (5.23) ดังตาราง 4.5 จากการนำข้อมูลค่า pH เปลี่ยนไปของแต่ละพื้นที่ศึกษา มาทำการวิเคราะห์ความแตกต่างของค่า pH โดยเฉลี่ยของเปลี่ยนไปในแต่ละพื้นที่ ด้วยการวิเคราะห์ความแปรปรวนแบบทางเดียว (one-way ANOVA) พบว่าค่า pH เปลี่ยนไปของแต่ละพื้นที่ศึกษามีความแตกต่างกันอย่างมีนัยสำคัญที่ระดับความเชื่อมั่น 95 % ( $F^* = 4.079$ ,  $p < 0.05$ ) ดังภาพ 4.4 และตาราง 4.5

จากการวิเคราะห์หาความสัมพันธ์ระหว่างค่า pH เปลี่ยนไปของแต่ละพื้นที่ศึกษากับดัชนีความหลากหลายของไอลเคนในแต่ละพื้นที่ โดยใช้ค่าสัมประสิทธิ์สหสัมพันธ์ของเพียร์สัน พบว่าค่า pH เปลี่ยนไปไม่มีความสัมพันธ์กับดัชนีความหลากหลายของไอลเคนในแต่ละพื้นที่ศึกษาอย่างมีนัยสำคัญที่ระดับความเชื่อมั่น 95% ( $r = -0.096$ ,  $p < 0.05$ ) (ภาคผนวก ค) (ภาพ 4.5)

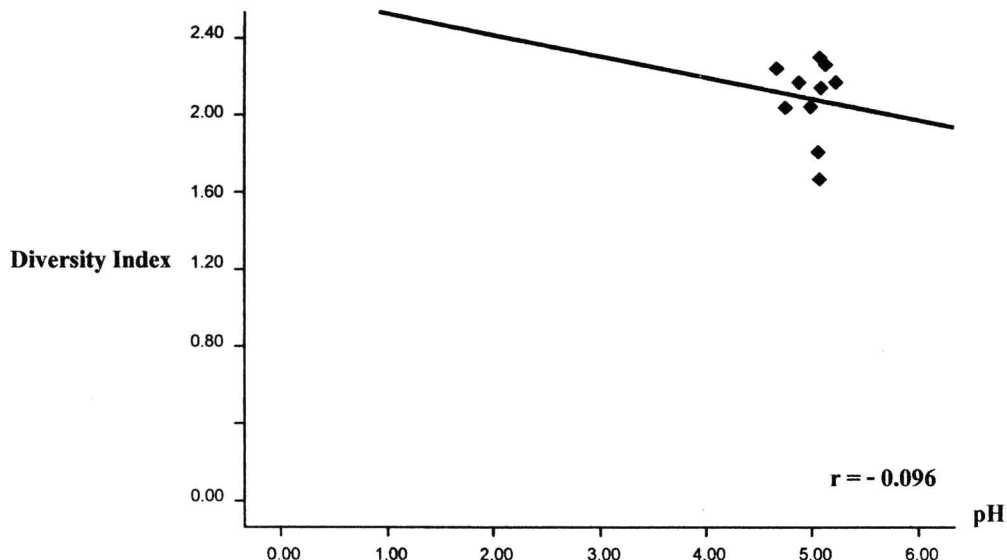


ภาพ 4.4 ค่า pH โดยเฉลี่ยของเปลี่ยนต้นมะม่วงในแต่ละพื้นที่ศึกษา

ตาราง 4.5 pH โดยเฉลี่ยของเปลือกต้นมะม่วงในแต่ละพื้นที่ศึกษา

พื้นที่ศึกษา	pH เปลือกไม้ ± SD	ค่านิความหลากหลายของไอลคน
แม่ทะ	4.67±0.23 <sup>a</sup>	2.24
ป่าไม้	4.99±0.20 <sup>abc</sup>	2.04
สบเมะ	4.75±0.16 <sup>ab</sup>	2.04
สนป่าค	5.13±0.41 <sup>bc</sup>	2.26
แม่จาง	5.09±0.30 <sup>bc</sup>	2.14
ปางปวย	5.06±0.26 <sup>abc</sup>	1.81
สบชาง	5.07±0.30 <sup>bc</sup>	1.67
กอรวก	5.08±0.24 <sup>bc</sup>	2.30
คง	5.23±0.25 <sup>c</sup>	2.17
ท่าสี	4.88±0.30 <sup>abc</sup>	2.17

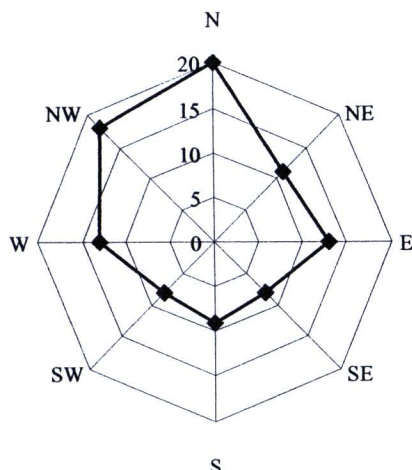
หมายเหตุ a, b, c แสดงความแตกต่างอย่างมีนัยสำคัญของค่า pH โดยเฉลี่ยของเปลือกไม้ โดย ข้อมูลชุดที่มีตัวอักษรที่เหมือนกัน ไม่มีความแตกต่างกันทางสถิติ (one-way ANOVA,  $p < 0.05$ )



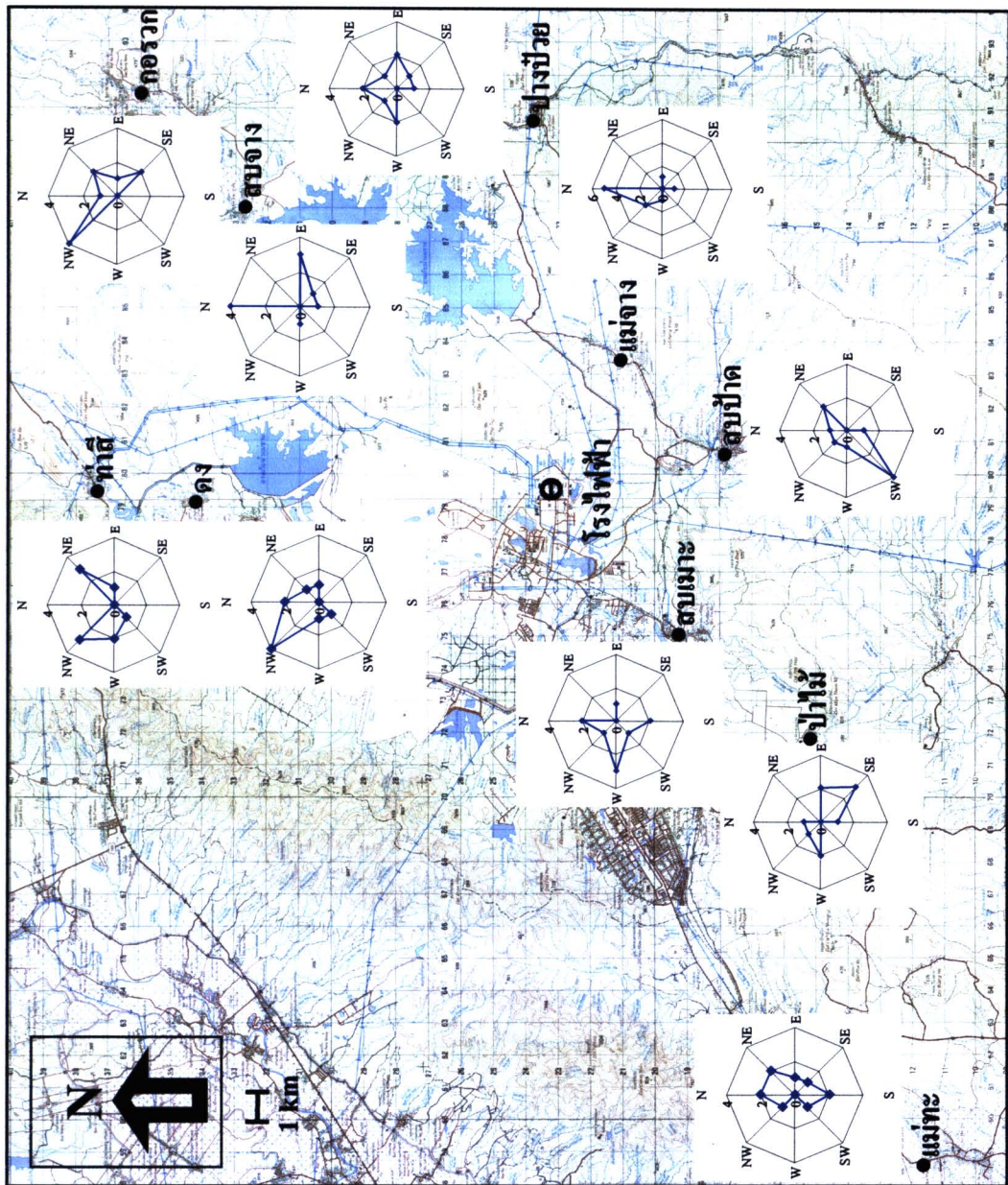
ภาพ 4.5 ความสัมพันธ์ระหว่างค่า pH เปลือกไม้กับค่านิความหลากหลายของไอลคนในพื้นที่ศึกษา

### 4.3 ทิศทางบนต้นมะม่วงที่พับໄไลเคนมากที่สุด

จากการบันทึกทิศทางการวางกรอบสำรวจ ที่วางทับบนลำด้านของต้นมะม่วง ซึ่งเดือกว่างบนลำด้านที่มีໄไลเคนขึ้นมากหรือหลากหลายที่สุด พบร่วมกับทิศทางที่พับໄไลเคนมากที่สุด คือทิศเหนือ รองลงมาเป็นทิศตะวันตกเฉียงเหนือ ทิศตะวันออก ทิศตะวันตก ทิศตะวันออกเฉียงเหนือตามลำดับ ส่วนในทิศใต้ ทิศตะวันออกเฉียงใต้ และทิศตะวันตกเฉียงใต้ พบน้อย (ภาพ 4.6) อย่างไรก็ตามเมื่อแยกข้อมูลที่บันทึกได้ของแต่ละพื้นที่ศึกษา พบร่วมกับทิศทางการวางกรอบสำรวจมีความแตกต่างกันในแต่ละพื้นที่ศึกษา ดังภาพ 4.7



ภาพ 4.6 จำนวนทิศทางบนต้นมะม่วงที่พับໄไลเคนมากที่สุด

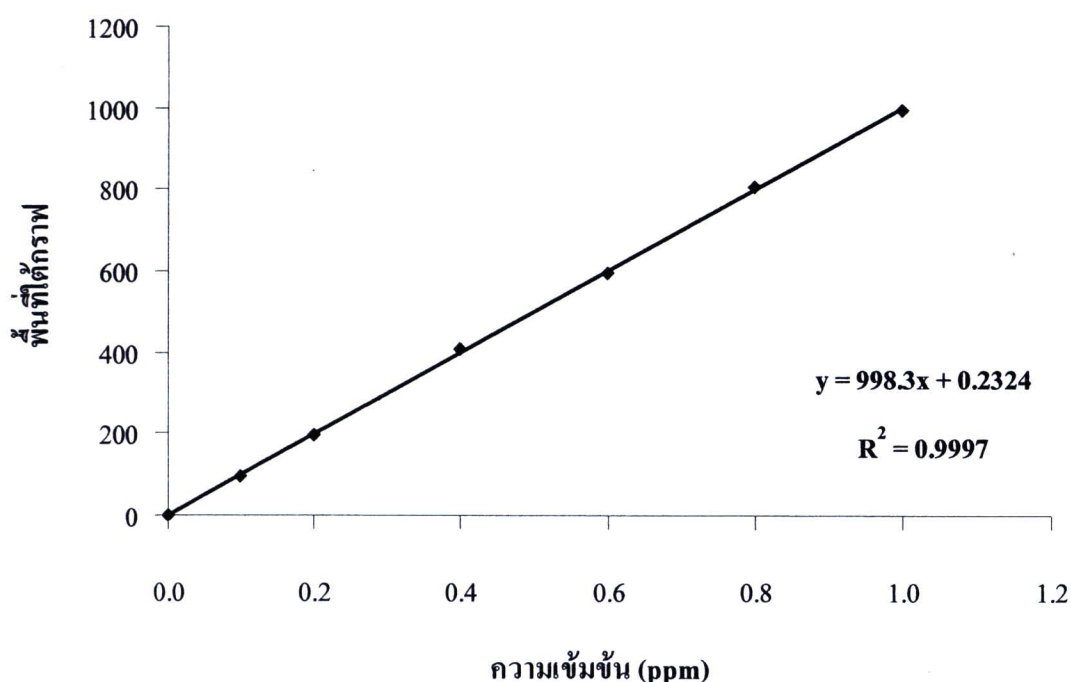


ภาพ 4.7 ทิศทางและตั้งมุมของพายุตามมาตราที่ติด ในแต่ละพื้นที่ศึกษา (กรรมภณฑ์ท่าเรือปัจจุบันการทางสูงสุด, 2542)

#### 4.4 การตรวจวัดปริมาณก๊าซชัลเฟอร์ไดออกไซด์ โดยใช้เทคนิคการเก็บตัวอย่างแบบแพสซีฟ

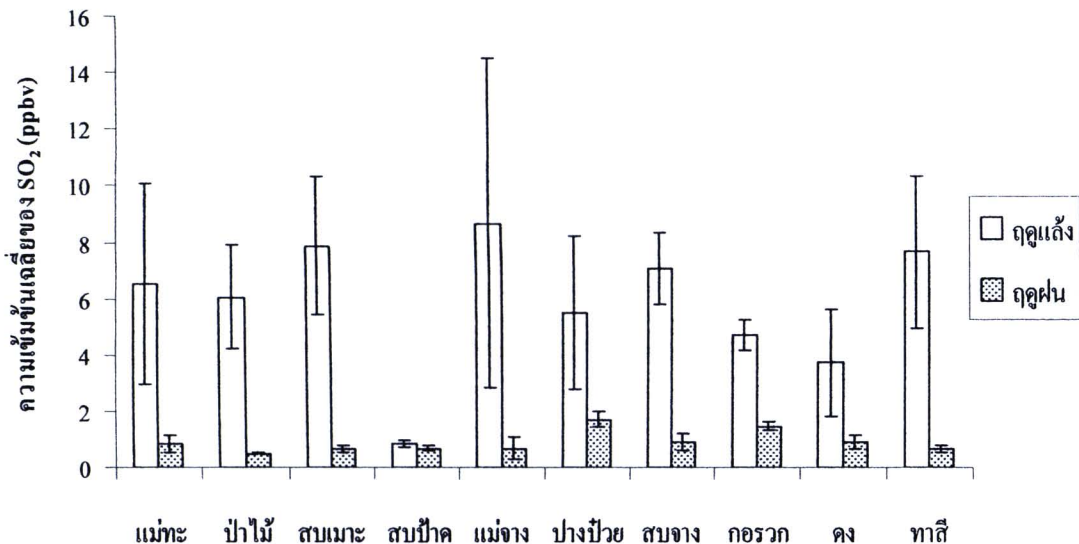
ตรวจวัดปริมาณก๊าซชัลเฟอร์ไดออกไซด์ในอากาศของพื้นที่ศึกษาทั้งหมด 10 พื้นที่ ซึ่งได้เก็บตัวอย่างอากาศของถูกแล้ง ในช่วงวันที่ 21 - 28 กุมภาพันธ์ พ.ศ. 2552 และถูกฝน ในช่วงวันที่ 5 - 12 กรกฎาคม พ.ศ. 2552 โดยในแต่ละพื้นที่ศึกษาได้ทำการวางแผนหลอดเก็บตัวอย่างอากาศที่บรรจุในกล่องป้องกัน จำนวน 8 หลอด/พื้นที่ โดยทำการแขวนหลอดเก็บตัวอย่างอากาศในพื้นที่เป็นเวลา 7 วัน

หลังจากแขวนไว้ 7 วัน หลอดเก็บตัวอย่างอากาศ ถูกนำกลับมาเพื่อทำการวิเคราะห์ด้วยเทคนิคไอออนโครมาโตกราฟ ภายใต้สภาวะที่เหมาะสม ในรูปของชัลเฟต์ไอออน ( $\text{SO}_4^-$ ) โดยความเข้มข้นของ  $\text{SO}_4^-$  (ppm) ที่ได้จากเครื่องไอออนโครมาโตกราฟ สามารถคำนวณได้โดยใช้กราฟมาตรฐาน แสดงดังภาพ 4.8



ภาพ 4.8 กราฟมาตรฐานของชัลเฟต์ไอออน ( $\text{SO}_4^-$ )

ความเข้มข้นของก๊าซชัลเฟอร์ไดออกไซด์ในอากาศ ในแต่ละพื้นที่ศึกษา จำนวน ได้โดยใช้สมการ 2.4 ในหน่วย  $\mu\text{g}/\text{m}^3$  และทำการคำนวณในสมการ 2.6 จะได้ก๊าซชัลเฟอร์ไดออกไซด์ในหน่วย ppbv ค่าความเข้มข้นของก๊าซชัลเฟอร์ไดออกไซด์เฉลี่ยในแต่ละพื้นที่ศึกษา ทั้งในถูกแล้ง และถูกฝน แสดงดังภาพ 4.9



ภาพ 4.9 ค่าความเข้มข้นเฉลี่ยของก๊าซซัลเฟอร์ไดออกไซด์ในพื้นที่ศึกษา ในช่วงฤดูแล้งและฤดูฝน

ความเข้มข้นเฉลี่ยของก๊าซซัลเฟอร์ไดออกไซด์ในแต่ละพื้นที่ศึกษาของฤดูแล้ง ในช่วงที่ตรวจวัดมีค่าเท่ากับ 0.84 - 8.65 ppbv โดยค่าต่ำสุดที่ตรวจวัด ได้พบที่บ้านสนป้า และค่าสูงสุดที่ตรวจวัด ได้พบที่บ้านแม่จาง ในขณะที่ฤดูฝนตรวจวัดปริมาณของก๊าซซัลเฟอร์ไดออกไซด์ได้ค่าความเข้มข้นเฉลี่ยเท่ากับ 0.51 – 1.72 ppbv โดยค่าต่ำสุดที่ตรวจวัด ได้พบที่บ้านป่าไม้ และค่าสูงสุดที่ตรวจวัด ได้พบที่บ้านปางป้าข โดยค่าความเข้มข้นเฉลี่ยของก๊าซซัลเฟอร์ไดออกไซด์ของฤดูแล้ง จะมีค่ามากกว่าฤดูฝน ดังตาราง 4.6

จากการเปรียบเทียบค่าความเข้มข้นเฉลี่ยของก๊าซซัลเฟอร์ไดออกไซด์ในแต่ละพื้นที่ศึกษา ด้วยการวิเคราะห์ความแปรปรวนแบบทางเดียว (one-way ANOVA) พบว่าค่าความเข้มข้นเฉลี่ยของก๊าซซัลเฟอร์ไดออกไซด์ในแต่ละพื้นที่ศึกษาของฤดูแล้ง มีความแตกต่างกันอย่างมีนัยสำคัญที่ระดับความเชื่อมั่น 95 % ( $F^* = 2.921, p < 0.05$ ) (ภาคผนวก ค) ในทำนองเดียวกันค่าความเข้มข้นเฉลี่ยของก๊าซซัลเฟอร์ไดออกไซด์ในแต่ละพื้นที่ศึกษาของฤดูฝน มีความแตกต่างกันอย่างมีนัยสำคัญที่ระดับความเชื่อมั่น 95 % ( $F^* = 12.709, p < 0.05$ ) และเมื่อทำการเปรียบเทียบผลจากการตรวจค่าความเข้มข้นเฉลี่ยของก๊าซซัลเฟอร์ไดออกไซด์ของฤดูแล้งและฤดูฝน ไปทำการทดสอบแบบจับคู่ (Pair - test) พบว่าค่าความเข้มข้นเฉลี่ยของก๊าซซัลเฟอร์ไดออกไซด์ของฤดูแล้ง มีความแตกต่างกันในฤดูฝนอย่างมีนัยสำคัญที่ระดับความเชื่อมั่น 95 % ( $t^* = 10.009, p < 0.05$ ) (ตาราง 4.6)

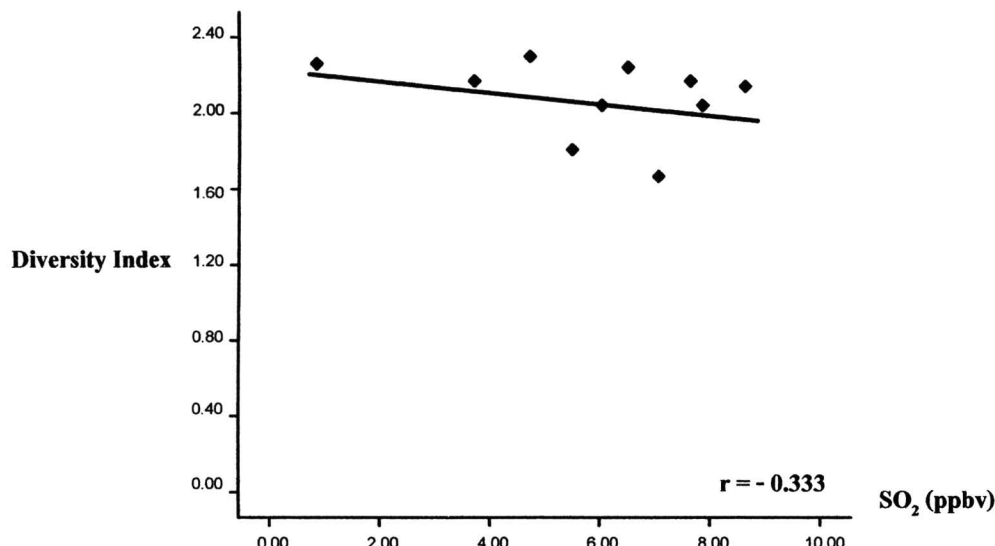


ตาราง 4.6 ปริมาณก๊าซชัลเฟอร์ไฮด์เฉลี่ยที่ตรวจวัดได้ในพื้นที่ศึกษา

พื้นที่ศึกษา	ความเข้มข้นเฉลี่ย $\text{SO}_2$ (ppbv) $\pm \text{SD}$		ดัชนีความหลากหลายของไอลเคน
	ถ้วนเฉลี่ย <sup>A</sup>	ถ้วนผัน <sup>B</sup>	
แม่ทะ	$6.52 \pm 3.54^{\text{ab}}$	$0.87 \pm 0.30^{\text{a}}$	2.26
ป่าไม้	$6.04 \pm 1.84^{\text{ab}}$	$0.51 \pm 0.02^{\text{a}}$	2.04
สมมະ	$7.87 \pm 2.46^{\text{b}}$	$0.64 \pm 0.12^{\text{a}}$	2.04
สนป่าค	$0.84 \pm 0.11^{\text{a}}$	$0.67 \pm 0.09^{\text{a}}$	2.26
แม่จาง	<b><math>8.65 \pm 5.82^{\text{b}}</math></b>	$0.69 \pm 0.38^{\text{a}}$	2.14
ปางปวย	$5.50 \pm 2.72^{\text{ab}}$	<b><math>1.72 \pm 0.30^{\text{b}}</math></b>	1.81
สนจาง	$7.07 \pm 1.29^{\text{ab}}$	$0.93 \pm 0.30^{\text{a}}$	1.67
กอรวก	$4.73 \pm 0.55^{\text{ab}}$	$1.46 \pm 0.15^{\text{b}}$	2.30
คง	$3.72 \pm 1.92^{\text{ab}}$	$0.88 \pm 0.24^{\text{a}}$	2.17
ท่าสี	$7.65 \pm 2.68^{\text{b}}$	$0.67 \pm 0.10^{\text{a}}$	2.17

หมายเหตุ A, B, a, b, c แสดงความแตกต่างอย่างมีนัยสำคัญของความเข้มข้นเฉลี่ยของก๊าซ  $\text{SO}_2$  โดยข้อมูลชุดที่มีตัวอักษรที่เหมือนกันไม่มีความแตกต่างกันทางสถิติ (one-way ANOVA,  $p < 0.05$ )

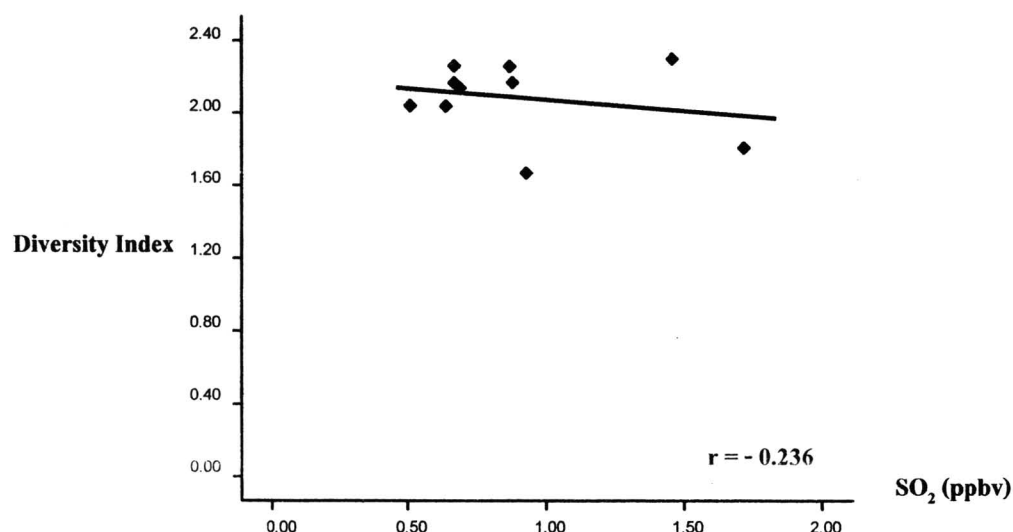
เมื่อนำค่าความเข้มข้นเฉลี่ยของก๊าซชัลเฟอร์ไฮด์ มาทำการวิเคราะห์ความสัมพันธ์ กับดัชนีความหลากหลายของไอลเคนในแต่ละพื้นที่ศึกษา โดยใช้ค่าสัมประสิทธิ์สหสัมพันธ์ของ เพิร์สัน พบว่าค่าความเข้มข้นเฉลี่ยของก๊าซชัลเฟอร์ไฮด์ ในถ้วนเฉลี่ย ไม่มีความสัมพันธ์กับ ดัชนีความหลากหลายของไอลเคนอย่างมีนัยสำคัญ ที่ระดับความเชื่อมั่น 95 % ( $r = -0.333$ ,  $p < 0.05$ ) ดังภาพ 4.10



ภาพ 4.10 ความสัมพันธ์ระหว่าง  $\text{SO}_2$  ถูกแล้งกับค่าชีนิความหลากหลายของไอลเคนในพื้นที่ศึกษา

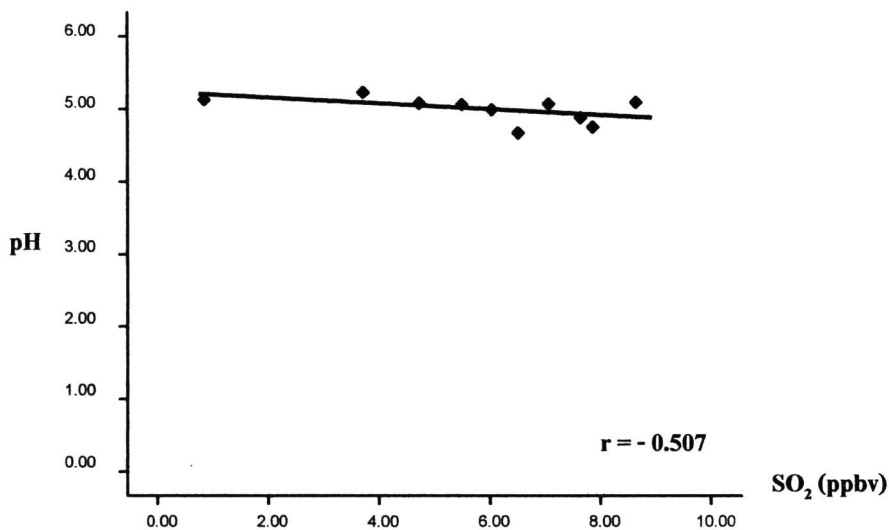
ในการทำนองเดียวกัน ค่าความเข้มข้นเฉลี่ยของก๊าซซัลเฟอร์ไดออกไซด์ในแต่ละพื้นที่ศึกษา ของถูกฟันไม่มีความสัมพันธ์กับค่าชีนิความหลากหลายของไอลเคนในแต่ละพื้นที่ศึกษาอย่างมีนัยสำคัญ ที่ระดับความเชื่อมั่น 95 % ( $r = -0.236$ ,  $p < 0.05$ ) ดังภาพ 4.11

ซึ่งจากภาพ 4.10 และภาพ 4.11 แสดงให้เห็นว่า ถึงแม้ค่าความเข้มข้นเฉลี่ยของก๊าซซัลเฟอร์ไดออกไซด์และค่าชีนิความหลากหลายของไอลเคนในช่วงที่ทำการศึกษา จะไม่มีความสัมพันธ์กัน แต่ก็พอเห็นแนวโน้มว่า ถ้าค่าความเข้มข้นของก๊าซซัลเฟอร์ไดออกไซด์ในพื้นที่เพิ่มขึ้น ค่าชีนิความหลากหลายของไอลเคนในพื้นที่มีแนวโน้มที่จะลดลง

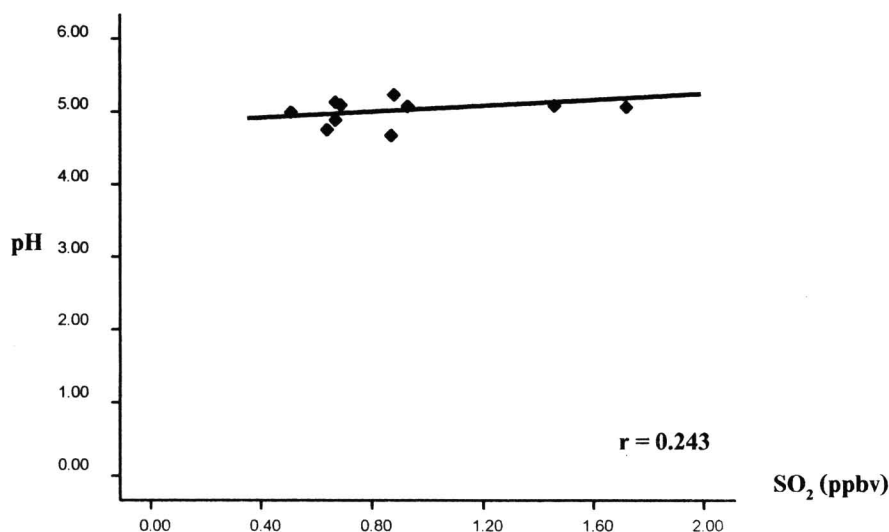


ภาพ 4.11 ความสัมพันธ์ระหว่าง  $\text{SO}_2$  ถูกฟันกับค่าชีนิความหลากหลายของไอลเคนในพื้นที่ศึกษา

จากการวิเคราะห์หาความสัมพันธ์ระหว่างปริมาณก๊าซชัลเฟอร์ไดออกไซด์ในแต่ละพื้นที่ กับค่า pH โดยเฉลี่ยของเปลือกไม้ของแต่ละพื้นที่ศึกษา โดยใช้ค่าสัมประสิทธิ์สหสัมพันธ์ของ เพียร์สัน พบว่าค่า pH เปเลือกไม้ไม่มีความสัมพันธ์กับปริมาณก๊าซชัลเฟอร์ไดออกไซด์ในแต่ละ พื้นที่ศึกษาอย่างมีนัยสำคัญที่ระดับความเชื่อมั่น 95% ( $r = -0.507$ ,  $p < 0.05$ ) สำหรับถูกุเล็ก ดังภาพ 4.12 และถูกุฟัน ( $r = 0.243$ ,  $p < 0.05$ ) ดังภาพ 4.13



ภาพ 4.12 ความสัมพันธ์ระหว่าง SO<sub>2</sub> ถูกุเล็กกับค่า pH โดยเฉลี่ยของเปลือกไม้ในพื้นที่ศึกษา



ภาพ 4.13 ความสัมพันธ์ระหว่าง SO<sub>2</sub> ถูกุฟันกับค่า pH โดยเฉลี่ยของเปลือกไม้ในพื้นที่ศึกษา